

Grenzwerte

| | Kurzzeichen | min. | max. | Einheit |
|--|-------------------|-------------------|------|------------------|
| Betriebsspannung $\vartheta_a = -25 \dots 70 \text{ }^\circ\text{C}$ | U_{CC} | 5,5 ²⁾ | 18 | V |
| obere Referenzspannung | U_{refmax} | 0 | 6,2 | V |
| untere Referenzspannung | U_{refmin} | 0 | 6,2 | V |
| Steuerspannung $\vartheta_a = -25 \dots 70 \text{ }^\circ\text{C}$ | U_{st} | 0 | 6,2 | V |
| LED-Strom $\vartheta_a = -25 \dots 25 \text{ }^\circ\text{C}$ | I_{LED} | - | 20 | mA |
| Reduktionskoeffizient des LED-Stromes $\vartheta_a = 25 \dots 70 \text{ }^\circ\text{C}$ | $-TK_{I_{LED}}$ | - | 0,25 | mA/K |
| Betriebstemperatur | ϑ_a | -25 | 55 | $^\circ\text{C}$ |
| Lagerungstemperatur für Lagerung bis zu 30 Tagen | ϑ_{stg} | -50 | 50 | $^\circ\text{C}$ |

Kenngrößen ($\vartheta_a = 25 \text{ }^\circ\text{C}$)

| | Kurzzeichen | min. | typ. | max. | Einheit |
|--|-----------------------------|------|------|------|----------------|
| Stromaufnahme $U_3; U_{12}; U_8; = 10 \text{ V}$ $U_6; U_{15} = 6 \pm 0,06 \text{ V}$ $I_{LED} = 0 \text{ mA}$ | I_{SI}, I_{SII} | - | - | 10 | mA |
| max. Eingangsstrom $U_3; U_{12}; U_8; U_9 = 12 \text{ V}$ $U_6; U_{15} = 1,2 \pm 0,01 \text{ V}$ für $I_6; I_{15}$ | | | | | |
| $U_6; U_{15} = 6 \pm 0,06 \text{ V}$ für $I_1; I_{10}$ | $-I_6, -I_1, -I_2$ | - | 2,0 | - | μA |
| | $-I_{15}, -I_{10}, -I_{11}$ | - | 1,5 | - | μA |
| Lichtstärkemittelwert ¹⁾ $U_3; U_{12}; U_8; U_9 = 12 \text{ V}$ $U_6; U_{15}; = 5,2 \text{ V}$ $I_{LED} = 10 \text{ mA}$ | I_V | 150 | - | - | μcd |
| rel. Temperaturkoeffizient der Lichtstärke $\vartheta_a = 25 \dots 70 \text{ }^\circ\text{C}$ | $-TK_{I_V}$ | 1,0 | - | - | %/K |

Fortsetzung

| | Kurzzeichen | min. | typ. | max. | Einheit |
|--|-----------------------|------|------|------|---------|
| Wellenlänge der max. spektralen Emission | λ_p | 555 | - | 575 | nm |
| Spektrale Strahlungsbandbreite | $\Delta\lambda_{0,5}$ | - | 40 | - | nm |

- 1) I_V -Wert gemittelt über die ersten vier Segmente der Zeile. Einschätzung des I_V -Verhältnisses von Segment zu Segment erfolgt visuell, so daß Lichtstärkeunterschiede nicht störend erkennbar sind.
- 2) Eine Unterschreitung von $U_{CC} = 5,5$ V führt zur Funktionsunfähigkeit des Schaltkreises, nicht zu dessen Zerstörung.

Tabelle 1: Anschlußbelegung

| Kontakt Nr. | Belegung |
|-----------------------|--|
| 1 $U_{refmin1}$ | (P _{in} 16 IS1) Untere Referenzspannung |
| 2 U_{st1} | (P _{in} 17 IS1) Steuerspannung |
| 3 U_{CC1} | (P _{in} 18 IS1) Betriebsspannung |
| 4 Masse ₁ | (P _{in} 1 IS1) |
| 5 U_{H1} | (P _{in} 2 IS1) Helligkeitssteuerung |
| 6 $U_{refmax1}$ | (P _{in} 3 IS1) Obere Referenzspannung |
| 7 Katode LED L | (P _{in} 4 IS1) |
| 8 U_{CC} LED A...L | |
| 9 U_{CC} LED M...X | |
| 10 $U_{refmin2}$ | (P _{in} 16 IS2) Untere Referenzspannung |
| 11 U_{st2} | (P _{in} 17 IS2) Steuerspannung |
| 12 U_{CC2} | (P _{in} 18 IS2) Betriebsspannung |
| 13 Masse ₂ | (P _{in} 1 IS2) |
| 14 U_{H2} | (P _{in} 2 IS2) Helligkeitssteuerung |
| 15 $U_{refmax2}$ | (P _{in} 3 IS2) Obere Referenzspannung |
| 16 Katode | LED X |

Tabelle 2: Anschlußbelegung

| | |
|-----|-----------|
| IS1 | LED A...L |
| IS2 | LED M...X |

Einbau- und Lötinweise

Löttemperatur $t_L \leq 250 \text{ }^\circ\text{C}$; $t_L \leq 3 \text{ s}$. Zwischen BE-Leiterplatte und Verkopplung dürfen keine Scher- und/oder Biegebelastungen auftreten.

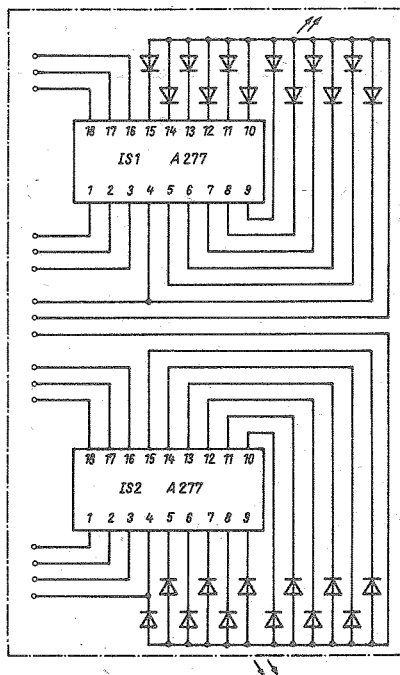


Bild 2: Innere Schaltung

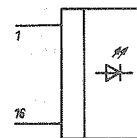


Bild 3: Schaltzeichen

Änderungen vorbehalten!
Redaktionsschluß 1/88

Die vorliegenden Datenblätter dienen ausschließlich der Information! Es können daraus keine Liefermöglichkeiten oder Produktionsverbindlichkeiten abgeleitet werden. Änderungen im Sinne des technischen Fortschritts sind vorbehalten.



Herausgeber:
veb applikationszentrum elektronik berlin
im veb kombinat mikroelektronik

Mainzer Straße 25
Berlin, 1035
Telefon: 5 80 05 21, Telex: 011 2981 011 3055